

и его концентрацию, рассчитываем величину поглощенной энергии. Полученные данные позволяют также определить интенсивность излучения и энергию  $\alpha$ -частиц.

Предложенный способ определения поглощенной энергии значительно облегчает задачу дозиметрии внешних источников  $\alpha$ -излучения, так как нет необходимости учитывать геометрию источника, знать энергию частиц, степень коллимирования и т. д. Ошибки при таком определении составят 3—10%.

Поступило в Редакцию 11/XI 1963 г.

### ЛИТЕРАТУРА

- N. Varr, R. Schuller. Radiation. Res., 7, 302 (1957).
- R. Schuller, A. Allen. J. Chem. Phys., 24, 56 (1956).
- E. Collinson, F. Dainton, J. Kroh. Proc. Roy. Soc. A 265, 418 (1962).
- W. McDonnell, E. Hart. J. Amer. Chem. Soc., 76, 2121 (1954).
- M. Lefort Annual. Rev. Phys. Chem., 9, 123 (1958).

- R. Schuller, A. Allen. J. Amer. Chem. Soc., 77, 507 (1955).
- H. Schwarz, J. Caffrey, G. Scholes. J. Amer. Chem. Soc., 81, 1801 (1959).
- R. Schuller, A. Allen. J. Amer. Chem. Soc., 79, 1565 (1957).
- N. Varr, R. Schuller. J. Phys. Chem., 63, 808 (1969).
- R. Schuller, N. Varr. J. Amer. Chem. Soc., 78, 5756 (1956).
- M. B. Владимира, З. В. Ергова. Труды II Всесоюзного совещания по радиационной химии. М., Изд-во АН СССР, 1962, стр. 162.
- C. Trumbore, E. Hart. J. Phys. Chem., 63, 867 (1959).
- M. Lefort, X. Tarrago. J. Phys. Chem., 63, 833 (1959).
- C. Senyag, E. Hart. Proceedings of the Second International Conference of the Peaceful of Atomic Energy. Geneva. Vol. 29, p. 19, 1958.
- A. Jaffey, Rev. Sci. Instrum., 25, 349 (1954).
- Sch. Gordon, E. Hart. Radiation Res., 15, 440 (1961).

УДК 621.039.58

## Зависимость линейного коэффициента ослабления $\gamma$ -излучения $\text{Co}^{60}$ от температуры металла-поглотителя

B. I. Кутовой, B. N. Стеценко

В настоящее время определены значения линейного коэффициента ослабления  $\mu$   $\gamma$ -излучения  $\text{Co}^{60}$  для некоторых металлов при температуре 20° С [1, 2]. В ряде научно-исследовательских задач, например при радиоизотопном исследовании температурного изменения плотности металлов и сплавов при высоких температурах, а также при решении практических вопросов использования радиоактивных изотопов и конструировании радиоизотопных приборов возникает необходимость определения действительного значения линейного коэффициента ослабления  $\gamma$ -излучения для металлов при различных температурах вплоть до температуры кипения.

Изменение температуры металла вызывает изменение его свойств как поглотителя  $\gamma$ -излучения в основном в результате температурного изменения плотности металлов [3, 4]. Величина коэффициента ослабления  $\gamma$ -излучения  $\text{Co}^{60}$  металлом-поглотителем при нормальной температуре определялась экспериментально для эффективных толщин, обуславливающих минимальную погрешность измерения ( $\mu d \approx 1,5$ ). Температурная зависимость  $\mu$  измерялась на специально разработанных экспериментальных установках, обеспечивающих возможность поддержания в процессе нагревания постоянной оптимальной толщины металла-поглотителя в зоне контроля.

Схема экспериментальной установки для измерения температурного изменения линейного коэффициента ослабления  $\gamma$ -излучения  $\text{Co}^{60}$  металлом в жидком агрегатном состоянии показана на рис. 1.

На рис. 2 приведены полученные экспериментально графические зависимости температурного изменения  $\mu$   $\gamma$ -излучения  $\text{Co}^{60}$  для Al, Zn, Cd, Sn, Pb и Bi. В зависимости от агрегатного состояния для всех металличес-

ких поглотителей характерно наличие трех резко отличающихся областей изменения  $\mu$ :

1) температурное изменение  $\mu$   $\gamma$ -излучения для металла в твердом агрегатном состоянии в интервале температур от 20° С до температуры плавления ( $\Delta\mu_{TB}$ );

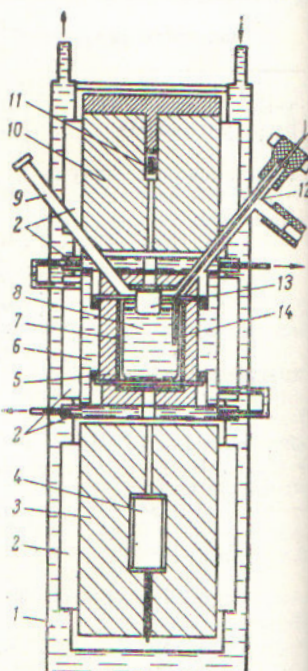


Рис. 1. Схема экспериментальной установки для измерения температурного изменения  $\mu$   $\gamma$ -излучения  $\text{Co}^{60}$ :

1 — корпус установки; 2 — механизм юстировки; 3 — контейнер-коллиматор детектора излучения; 4 — детектор; 5 — термоизоляция; 6 — охлаждающая рубашка; 7 — нагревательный элемент; 8 — тигель; 9 — канал для оптического пирометра; 10 — контейнер-коллиматор источника излучения; 11 — вакуумпровод; 12 — вкладыш-ограничитель; 13 — вкладыш-ограничитель; 14 — термопара.

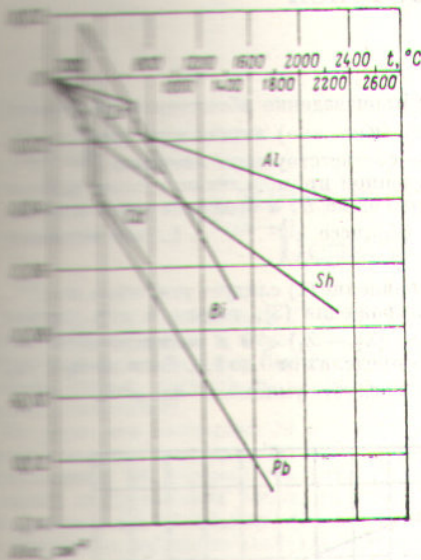


Рис. 2. Зависимость температурного изменения  $\mu$   $\gamma$ -излучения  $\text{Co}^{60}$  для Al, Zn, Cd, Sn, Pb, Bi.

1) линейное изменение  $\mu$   $\gamma$ -излучения при переходе металла из твердого состояния в жидкое агрегатное при температуре плавления ( $\Delta\mu_{\text{cr}}$ );

2) температурное изменение  $\mu$   $\gamma$ -излучения для металлов в жидком агрегатном состоянии в интервале от температуры плавления до температуры кипения;

3) таблицы приведены процентные значения температурного изменения  $\mu$  для металлов в указанных тем-

#### Температурное изменение $\mu$ , %

Металл	$\Delta\mu_{\text{cr}}$	$\Delta\mu_{\text{ж}}$	$\Delta\mu_{\text{общ}}$
Al	6,2	18,1	30,0
Zn	2,2	5,5	9,9
Cd	4,6	6,1	14,9
Sn	2,5	16,7	20,8
Pb	2,7	14,3	20,0
Bi	-3,2	15,1	15,1*
Li	1,0	17,7	21,8
Na	2,4	19,6	25,2
Mg	6,9	5,3	18,0
K	2,1	19,0	26,0
Ag	3,3	11,9	23,2
Au	5,8	4,6	27,5

\* Для Bi указано по значению  $\Delta\mu_{\text{ж}}$ .

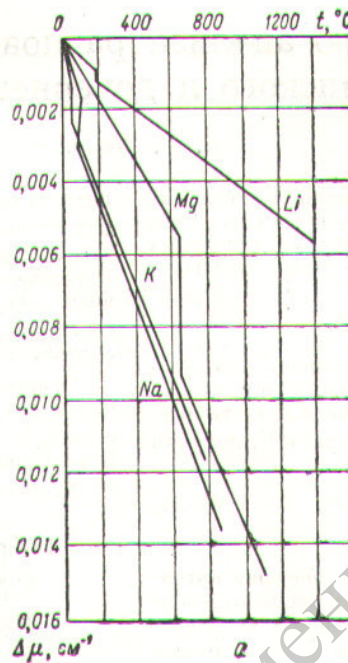
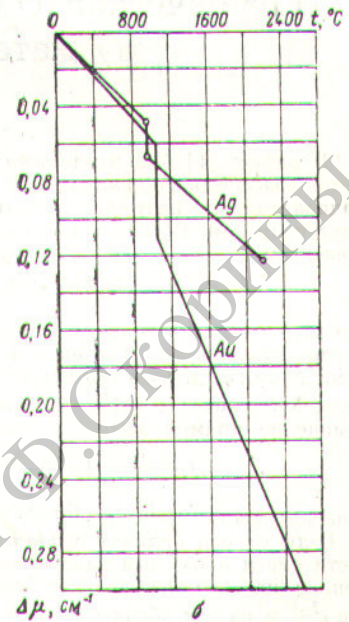


Рис. 3. Зависимость температурного изменения  $\mu$   $\gamma$ -излучения  $\text{Co}^{60}$  для Li, Na, Mg, K (а) и Ag, Au (б).



пературных областях, а также процентное значение общего температурного изменения  $\mu$   $\gamma$ -излучения.

Анализ приведенных результатов измерений позволил обобщить характер зависимости  $\mu$   $\gamma$ -излучения  $\text{Co}^{60}$  от температуры для группы металлов (Li, Na, Mg, K, Ag, Au) в различных агрегатных состояниях. На рис. 3 для этих металлов приведены графические зависимости, в таблице — процентные значения температурного изменения  $\mu$   $\gamma$ -излучения  $\text{Co}^{60}$  в указанных выше трех температурных областях.

Как видно, температурное изменение  $\mu$   $\gamma$ -излучения  $\text{Co}^{60}$  для указанных металлов при нагревании их от 20° С до температуры кипения составляет 10—30%. Это изменение необходимо учитывать при конструировании радиоизотопных приборов и выполнении научно-исследовательских работ, связанных с наличием в проектировании пространства металлического поглотителя, температура которого изменяется в процессе измерения.

Поступило в Редакцию 14/XI 1963 г.

#### ЛИТЕРАТУРА

1. S. Simizu, T. Hanai, S. Okamoto. Phys. Rev., 85, 290 (1952).
2. Н. Г. Гусев. Справочник по радиоактивным излучениям и защите. М., Медгиз, 1956.
3. М. П. Славинский. Физико-химические свойства элементов. М., Металлургиздат, 1952.
4. Р. Д. Брукс. Свойства жидкокометаллических теплоносителей. Материалы КАЭ США. Ядерные реакторы. Т. II. М., Изд-во иностр. лит., 1957.